

Self-Organizing Mapを用いた トポロジー最適解の探索

○ 申 鉉眞(Hyunjin SHIN: Graduate school of
Tokyo Institute of Technology)
平野 義鎮(Yoshiyasu HIRANO: JAXA)
轟 章 (Akira TODOROKI: Tokyo Institute of Technology)

Dec, 09, 2011

Tokyo Institute of Technology
Todoroki - Mizutani Lab.



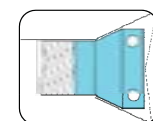
研究背景

超音速飛行機

- 高速性
- 経済性
- 環境適合性

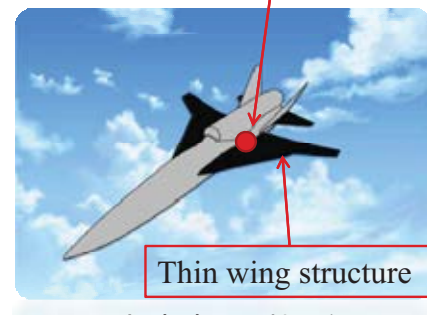
- ✓ 軽量化
- ✓ 薄翼構造

翼胴結合金具



金具設計の問題点

- ✓ 翼内の設計空間が小さい(薄翼構造)
- ✓ 高剛性が必要
- ✓ 空力荷重による様々な負荷荷重
- ✓ 軽量化が必要



超音速飛行機の例

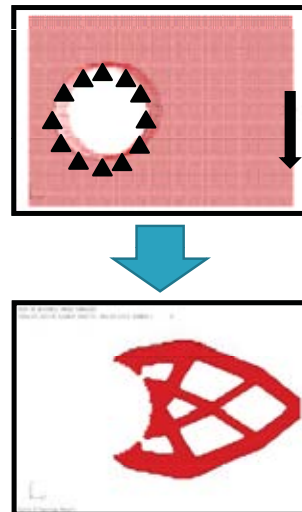


Tokyo Institute of Technology

研究背景

トポロジー最適化

- 一定の設計空間の中で最適な構造のレイアウトを探索する手法



トポロジー最適化の例

トポロジー最適化の問題

- 様々な要因による最適解の変動
 - ✓ 設計領域範囲、メッシュ分割
 - ✓ 負荷荷重が2つ以上の場合
→目的関数の線形結合の方法等

研究背景

トポロジー最適解析

- 様々な荷重条件によるトポロジー最適解析の変動
- 荷重条件(様々な空力荷重を想定)

单一目的トポロジー最適解析

多目的トポロジー最適解析

トポロジー最適解群算出

自己組織化マップ(Self-Organizing Map : SOM)

- 高次元データをその間に存在する非線形な統計的関係に従い、人間が理解し易い低次元の離散化されたマップ上に射影して分類する手法

研究目的

トポロジー最適解析 → トポロジー最適解群算出

トポロジー最適群 → 形状を表現する特徴を抽出

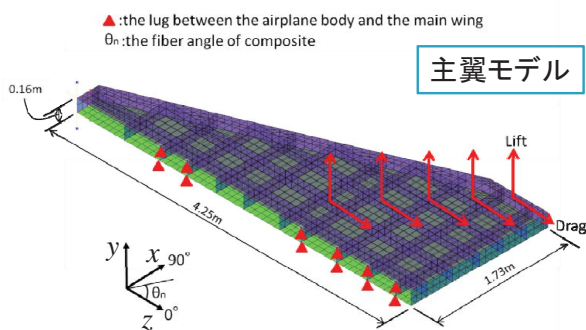
形状を表現する入力データを指標とし、
Self Organizing Map を用いて分類

トポロジー最適化による多数の最適解群を自己組織化マップ(SOM)を用いて分類し、形状の特徴を理解することで、最適な翼胴結合金具の形状の探索を試みる。

Tokyo Institute of Technology

5

主翼構造



- ✓ 翼厚は16cmにし、単純化
- ✓ 桁とりブはサンドイッチ構造
- ✓ 揚力 $C_L = \text{Lift} / \left(\frac{1}{2} \right) \rho V^2 S_w$
- ✓ 抗力 $C_D = \text{Drag} / \left(\frac{1}{2} \right) \rho V^2 S_w$ 翼の面積: S_w

Condition of the main wing model

Load Condition

- Flight altitude = 15km
- Mach = 1.6
- lift coefficient = 0.1
- lift-drag ratio = 9

Material Properties

- (T800/3630)
- 積層構成: $[(0/90)_2]_s$
- $E_L = 167 \text{ GPa}$
- $E_T = 9 \text{ GPa}$
- $G_{LT} = 5 \text{ GPa}$
- $\nu_L = 0.3$

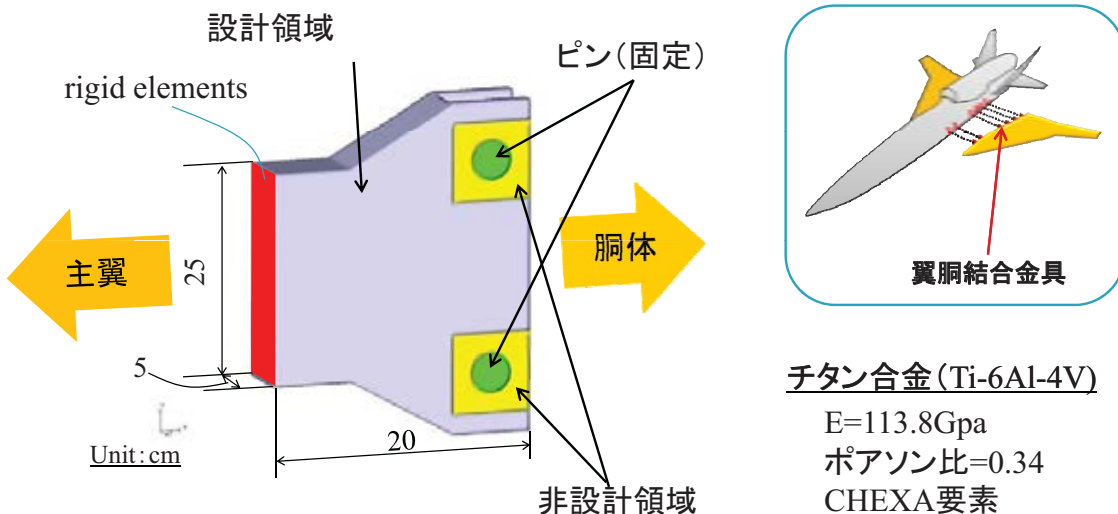
金具の最大反力

	x方向	y方向	z方向
Unit:[kN]	114~128	14~16	5~8

Tokyo Institute of Technology

6

翼胴結合金具モデル



Tokyo Institute of Technology

7

トポロジー最適解析

単一目的トポロジー最適解析

最適解析条件

- 目的関数: コンプライアンス最小化
(ひずみエネルギー最小化)
- 拘束条件: 荷重の全設計領域の40%以下
- 設計変数: 各要素の密度

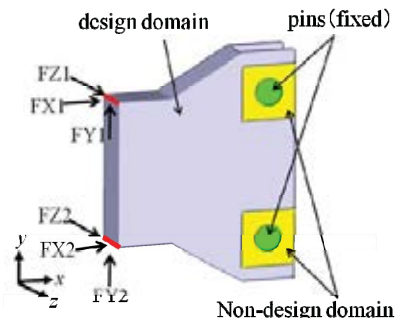
荷重条件

- せん断力
- ねじりモーメント
- 曲げモーメント
- **✓ 単独に負荷した場合(3ケース)**
- **✓ 同時に負荷した場合(4ケース)**

トポロジー最適解群の生成

形状の特徴抽出

SOM分類



Tokyo Institute of Technology

8

トポロジー最適解析

多目的トポロジー最適解析 (Weighted Min-Max method)

最適解析条件

- 目的関数: β の最小化
(各荷重ケースのひずみエネルギーの最小化)
- 拘束条件: 荷重の全設計領域の40%以下

$$w_i(s.e_i / s.e_i^o) - \beta \leq 0.0; \quad i = 1, 2, 3$$

- 設計変数: 各要素の密度 $s.e_i^o$: the strain energy of the utopia point

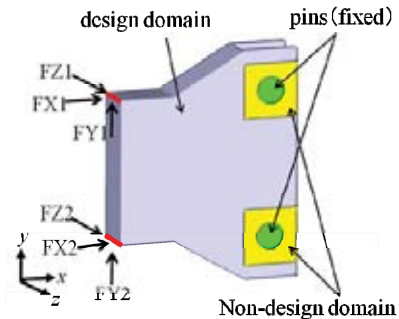
荷重条件

- せん断力
- ねじりモーメント
- 曲げモーメント

トポロジー最適解群の生成

形状の特徴抽出

SOM 分類



Tokyo Institute of Technology

9

トポロジー最適解析

多目的トポロジー最適解析 (Weighted Min-Max method)

最適解析条件

- 目的関数: β の最小化
(各荷重ケースのひずみエネルギーの最小化)
- 拘束条件: 荷重の全設計領域の40%以下

$$w_i(s.e_i / s.e_i^o) - \beta \leq 0.0; \quad i = 1, 2, 3$$

- 設計変数: 各要素の密度 $s.e_i^o$: the strain energy of the utopia point

荷重条件

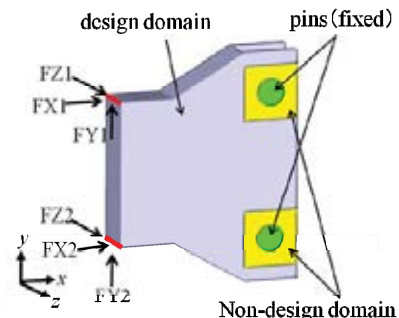
- せん断力
- ねじりモーメント
- 曲げモーメント

Latin Hypercube Sampling
→ 20samples

トポロジー最適解群の生成

形状の特徴抽出

SOM 分類

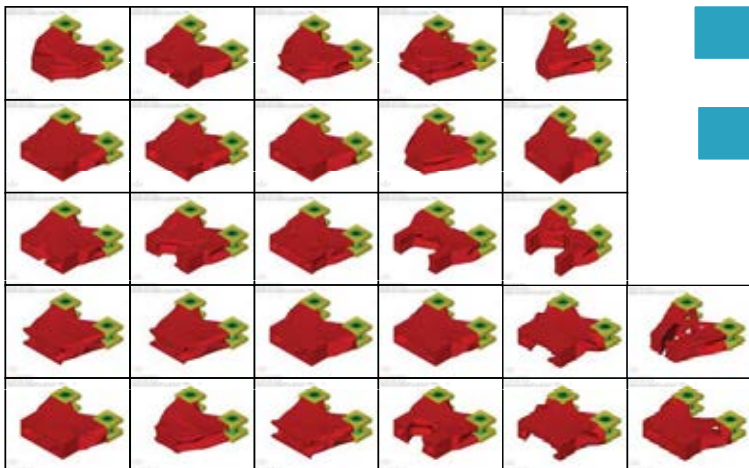


Tokyo Institute of Technology

10

トポロジー最適解群

生成したトポロジー最適解群



トポロジー最適解群の生成

↓
形状の特徴抽出

SOM分類

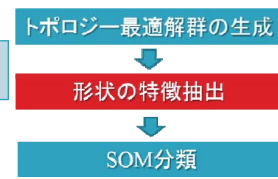
トポロジー最適解の形状特徴抽出

Grid Based 手法

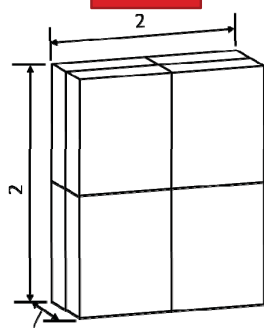
- 画像イメージを表現する方法
- 要素が存在する所は1
 存在しない所は0
- 実行の簡単さ
- 数値計算との適合性が高い
- 3次元に拡張するためには、要素数が多くなり、高計算コストが必要
- 分割数による形状の分類精度に対する検証が必要。

形状的の特徴

- 各セルに存在する
 要素の数。

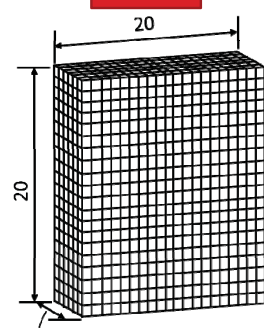


ケース1



8個セルに分割

ケース2

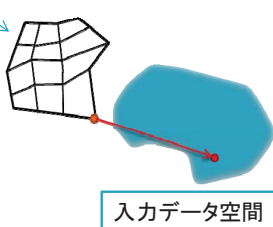


2400個セルに分割

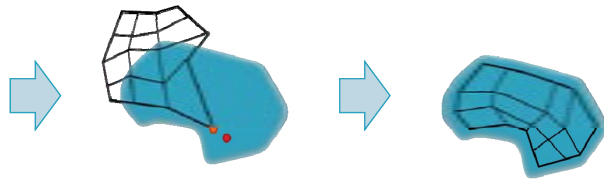
自己組織化マップ(SOM)

▶高次元データをその間に存在する非線形な統計的関係に従い、人間が理解し易い低次元の離散化されたマップ上に射影して分類する手法

d 次元参照ベクトル : $m = [m_1, \dots, m_d]$



入力データ空間



▶類似性はEuclidian 距離

▶Best Matching Unit(BMU)

入力ベクトル x と類似性が高い参照ベクトル
 $\|x - m_C\| = \min \{ \|x - m_i\| \}$

▶参照ベクトルの更新

$$m_i(t+1) = m_i(t) + \alpha(t)h_{ci}(t)[x(t) - m_i(t)]$$

$\alpha(t)$: 学習率

$h_{ci}(t)$: 近傍半径

MATLAB SOM Toolbox



Tokyo Institute of Technology

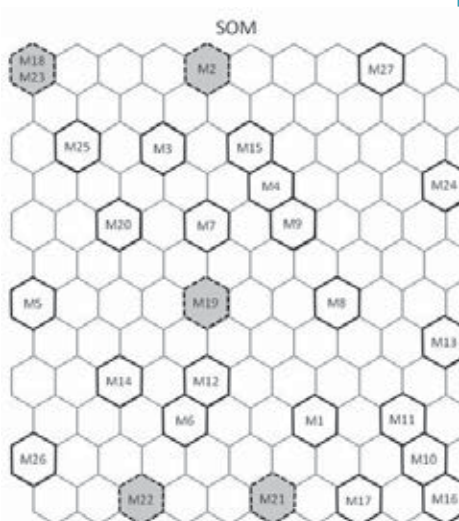
13

分類結果

ケース 1: 8 個のセルに分割し場合

SOM の入力データ
→ セルの中に存在する要素数

トポロジー最適解 27 個



トポロジー最適解群の生成

形状の特徴抽出

SOM 分類



Tokyo Institute of Technology

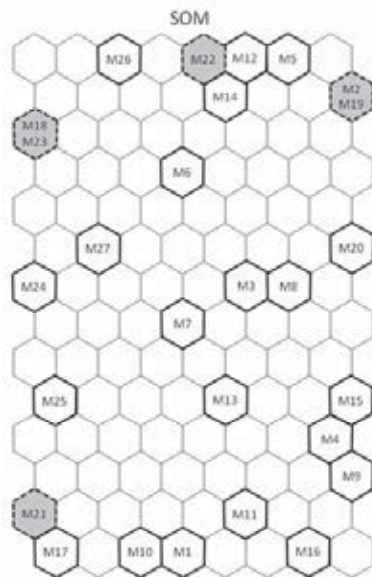
14

分類結果

ケース 2: 2400個のセルに分割し場合

SOMの入力データ
→ セルの中に存在する要素数

トポロジー最適解27個



Tokyo Institute of Technology

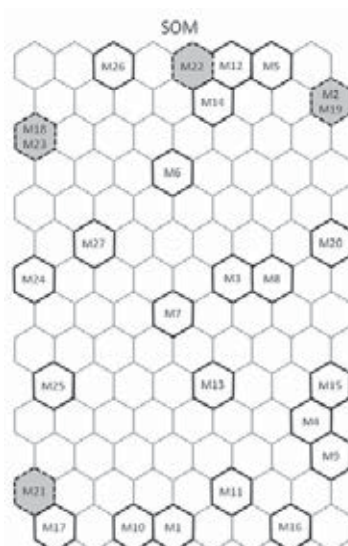
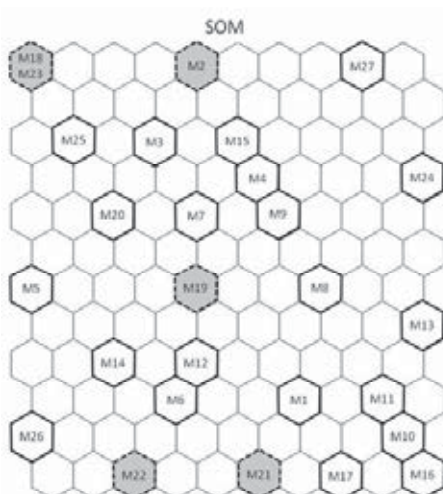
15

分類結果の比較

ケース 1: 8個のセル



ケース 2: 2400個のセル



Tokyo Institute of Technology

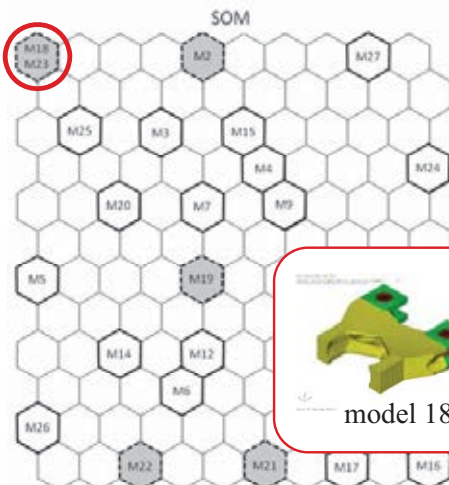
16

分類結果の比較(1)

ケース 1:8 個のセル



ケース 2:2400 個のセル



Tokyo Institute of Technology

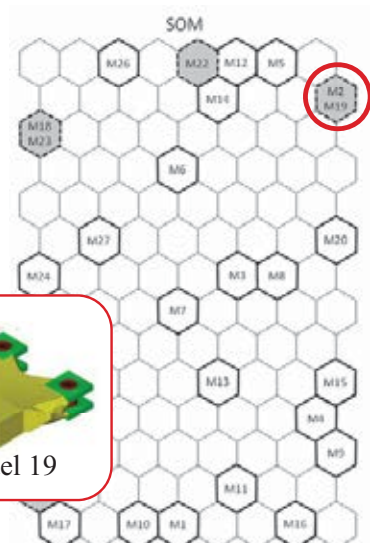
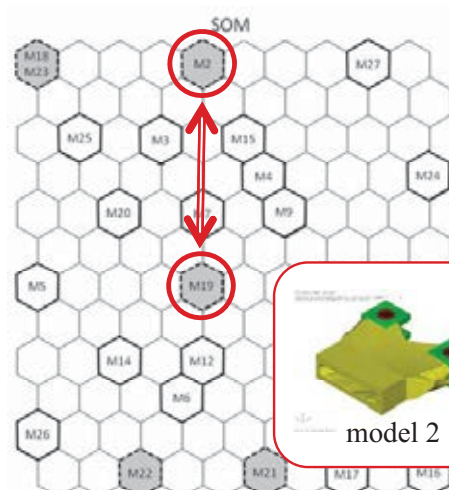
17

分類結果の比較(2)

ケース 1:8 個のセル



ケース 2:2400 個のセル

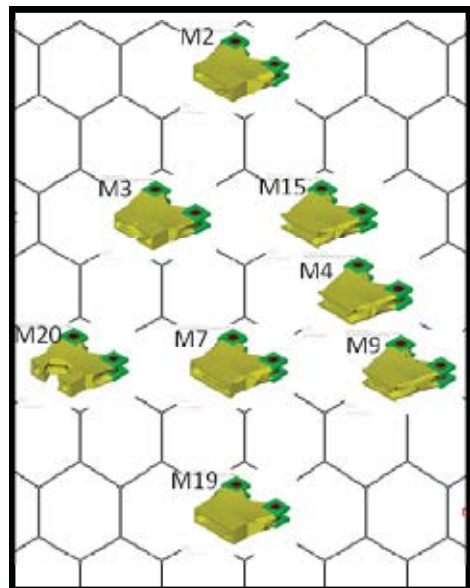
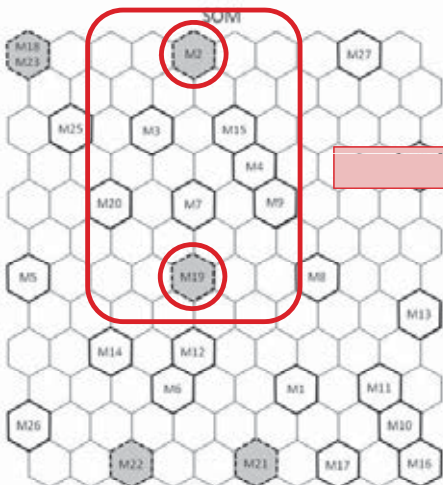


Tokyo Institute of Technology

18

分類結果の比較(2)

ケース 1: 8個のセル

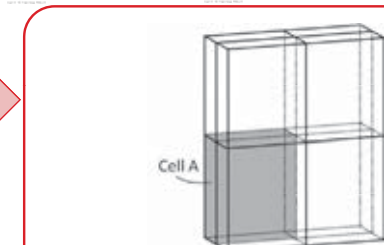
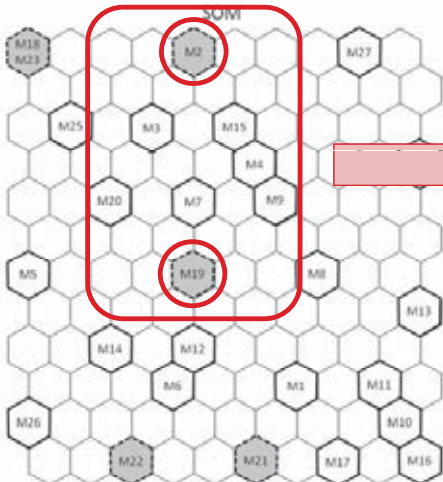


Tokyo Institute of Technology

19

分類結果の比較(2)

ケース 1: 8個のセル



セルAにおける要素数

	Model 2	Model 15	Model 19
Density at cell A [elements/cell]	4280	4421	4476

Tokyo Institute of Technology

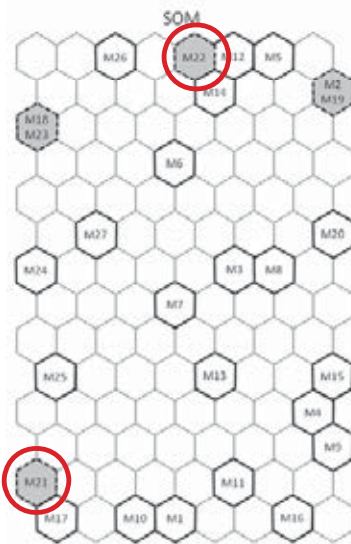
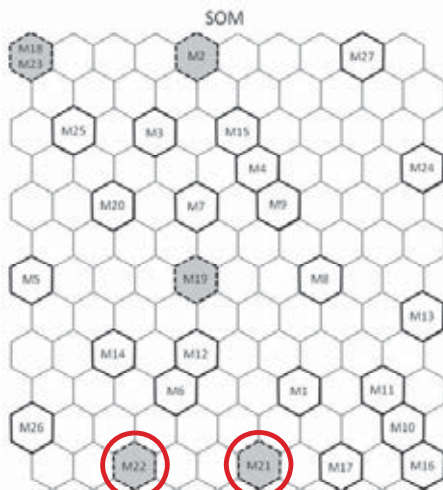
20

分類結果の比較(3)

ケース 1:8 個のセル



ケース 2:2400 個のセル



Tokyo Institute of Technology

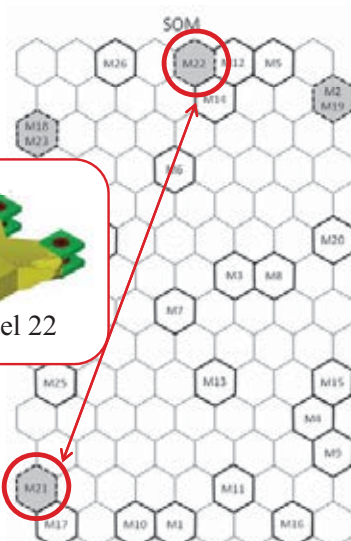
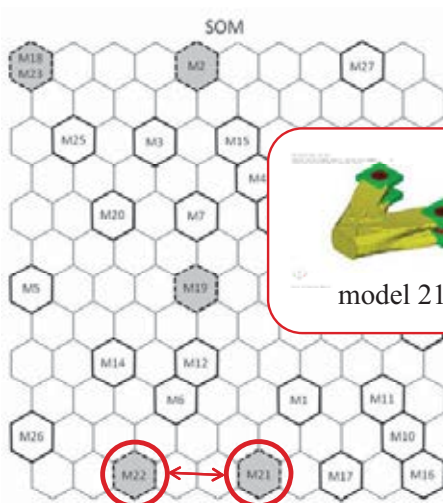
21

分類結果の比較(3)

ケース 1:8 個のセル



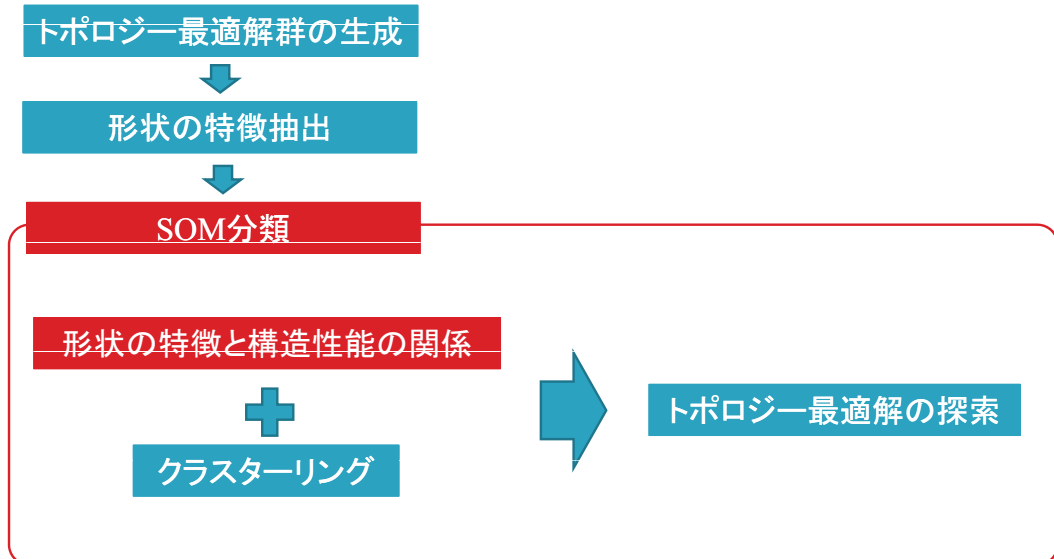
ケース 2:2400 個のセル



Tokyo Institute of Technology

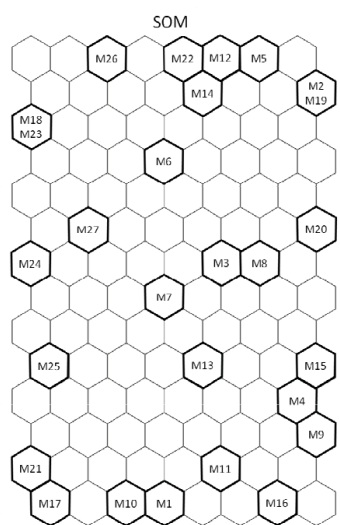
22

トポロジー最適解探索の流れ



形状の特徴と構造性能の関係

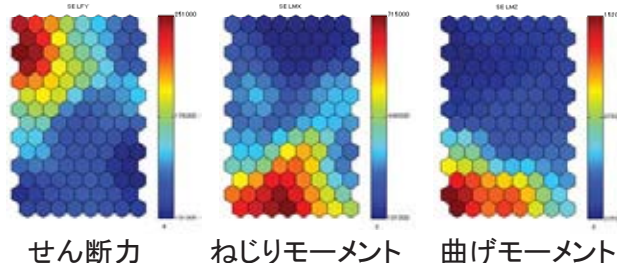
ケース 2: 2400個のセル



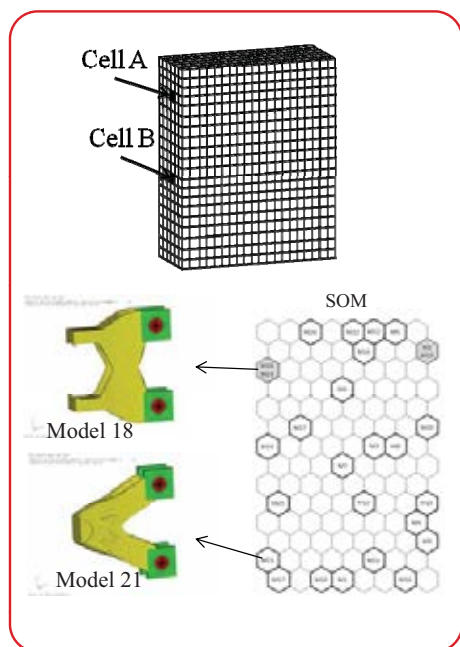
トポロジー最適解群

- ✓ 入力データ:
- 各セルの要素数
- ✓ トポロジー最適化
- 各荷重に対するひずみエネルギー

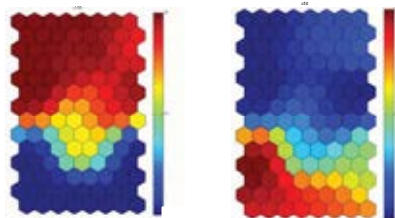
各荷重ケースにおけるひずみエネルギーSOMパターン



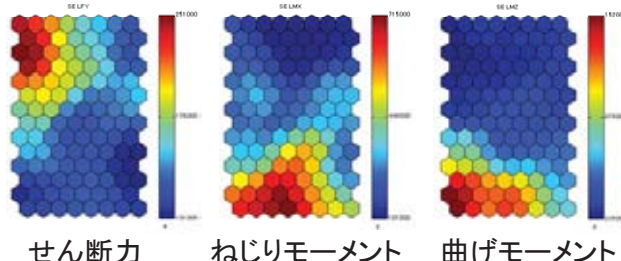
形状の特徴と構造性能の関係



入力データ: 各セルの要素数のパターン



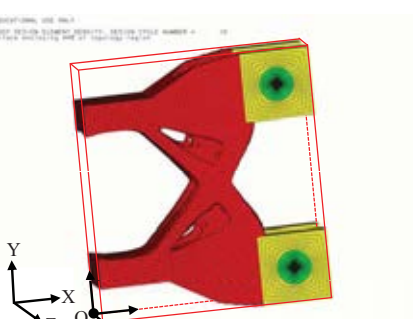
各荷重ケースにおけるひずみエネルギー SOM パターン



統計的な形状の特徴

要素の分布に対する統計的な値

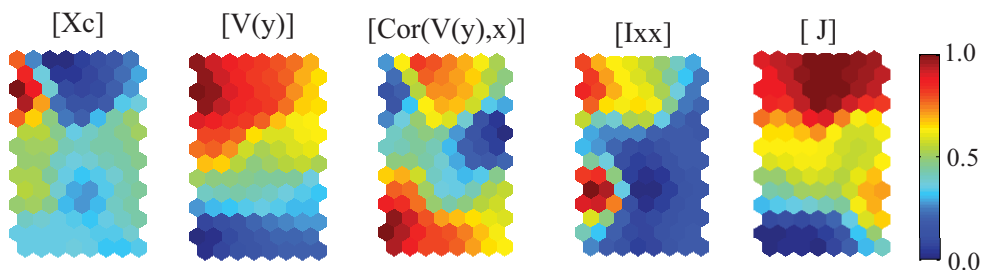
- 形状の重心 X_{gc} , Y_{gc} , Z_{gc}
- $(Xi - X_{gc})$ の二乗平均
- (X 方向平均分散: $V[X]$), $V[Y]$, $Z[Y]$
- $(Xi - X_{gc})$ と $(Yi - Y_{gc})$ の 積の平均
- (X と Y の共分散: $Cov(X,Y)$), $Cov(Y,Z)$, $Cov(Z,X)$
- $(Xi - X_{gc})^2$ と $(Yi - Y_{gc})$ の 積を平均した値.
- (X の平均分散と Y の共分散) $Cov(V[X],Y)$, $Cov(V[X],Z)$, $Cov(V[Y],X)$, $Cov(V[Y],Z)$, $Cov(V[Z],X)$, $Cov(V[Z],Y)$
- 断面 2 次モーメント I_{xx} , I_{yy} , I_{zz} , J



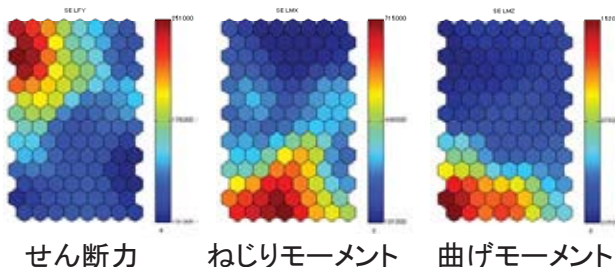
→ 全体的な形状の特徴がわかる

形状の特徴と構造性能の関係

統計的な要素の特徴を表現する値のSOMパターンの例



各荷重ケースにおけるひずみエネルギーSOMパターン



✓ 比較がより容易

形状を表現するパターン



構造性能を表現するパターン



Tokyo Institute of Technology

27

形状の特徴と構造性能の関係

SOMパターン比較の問題点

✓ 多数のパターンをそのまま人間の感覚で類似性を判断することは難しい

SOMのSOM

➤ 各々のパターンに対応するベクトルを用いて共分散行列を計算し、その共分散値に基づいて再びSOMで分類する手法

本研究では

SOMの入力データ

→ パターンに対応するベクトル

分類した対象パターン

✓ 要素の分布を統計的に表現した値におけるSOMパターン

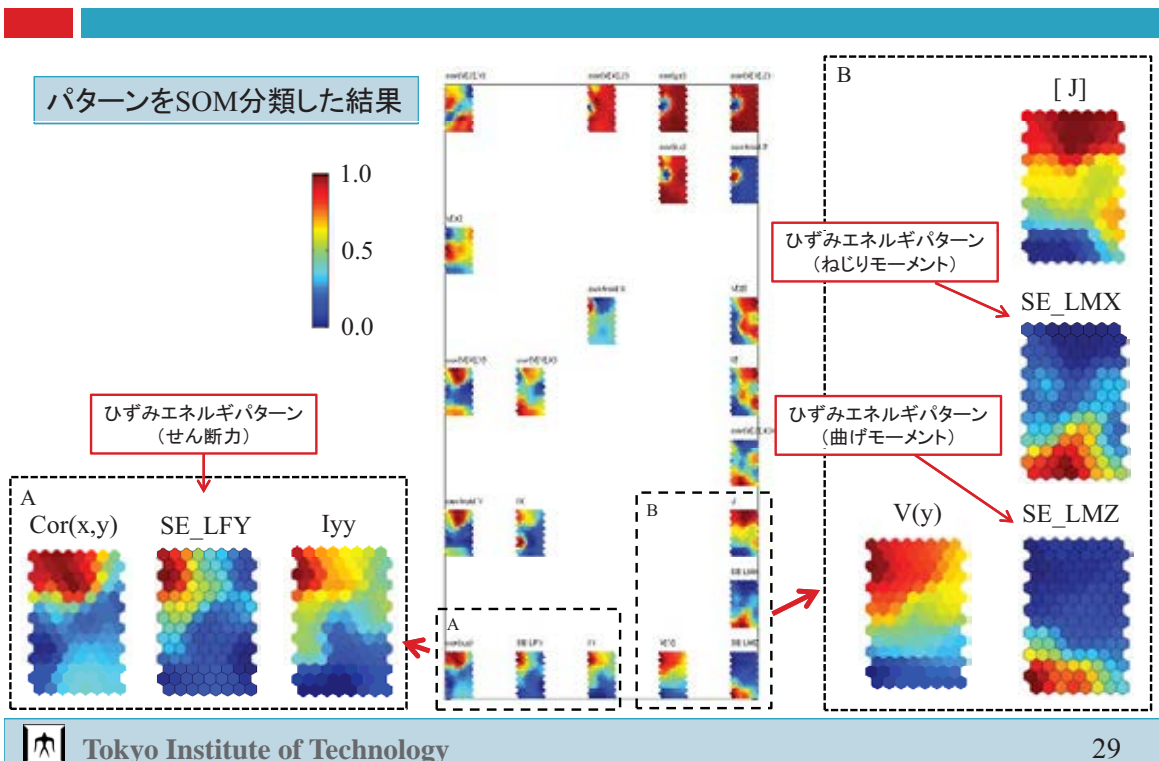
✓ 3つの荷重ケースにおけるひずみエネルギーパターン



Tokyo Institute of Technology

28

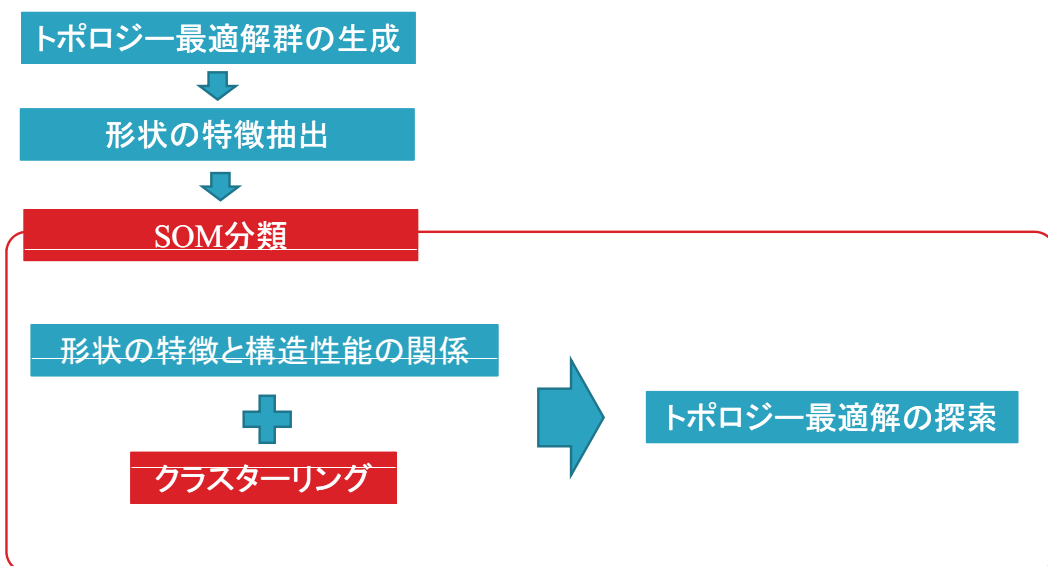
パターンのSOM分類結果



Tokyo Institute of Technology

29

トポロジー最適解探索の流れ



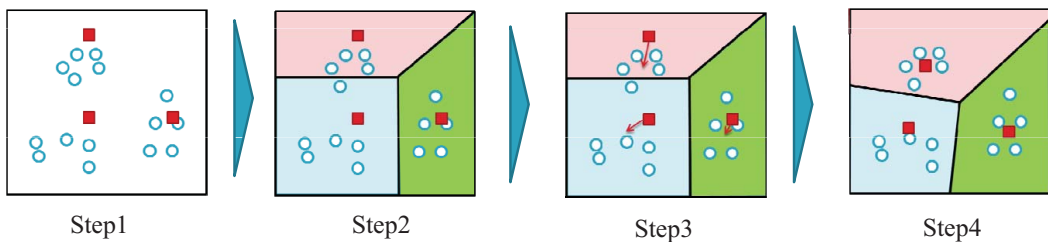
Tokyo Institute of Technology

30

クラスターリング

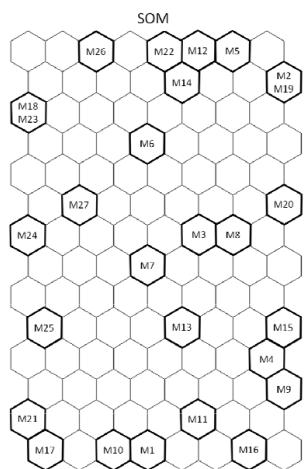
- クラスターリングはあるモデルの周りにある形状との距離に基づいてグループ化する手法
- グループの数とそのグループを求め、代表的な形状を選出
- k-means法

k=3の場合の例



クラスターリングの結果

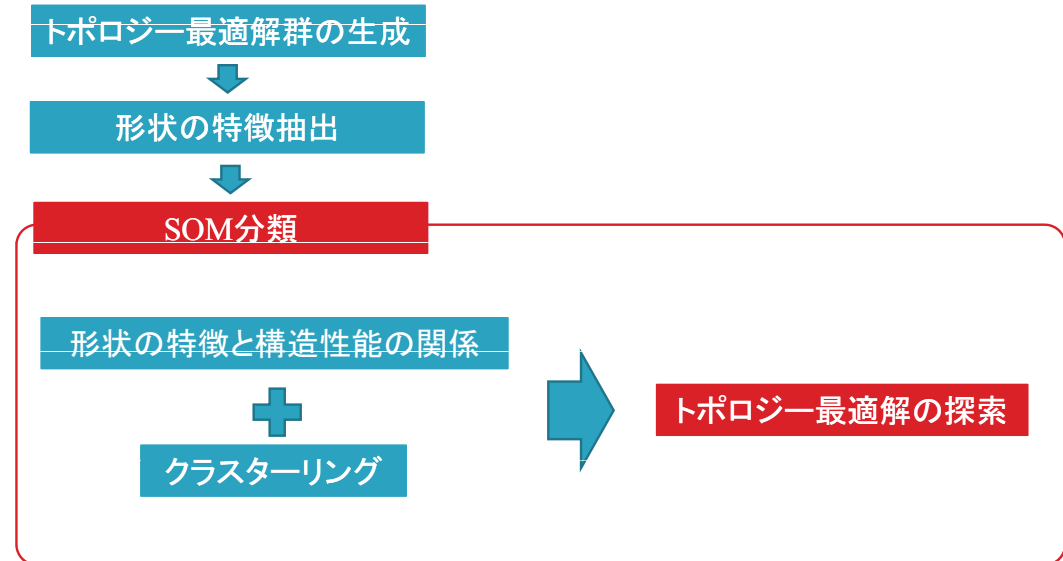
2400個のセルの場合



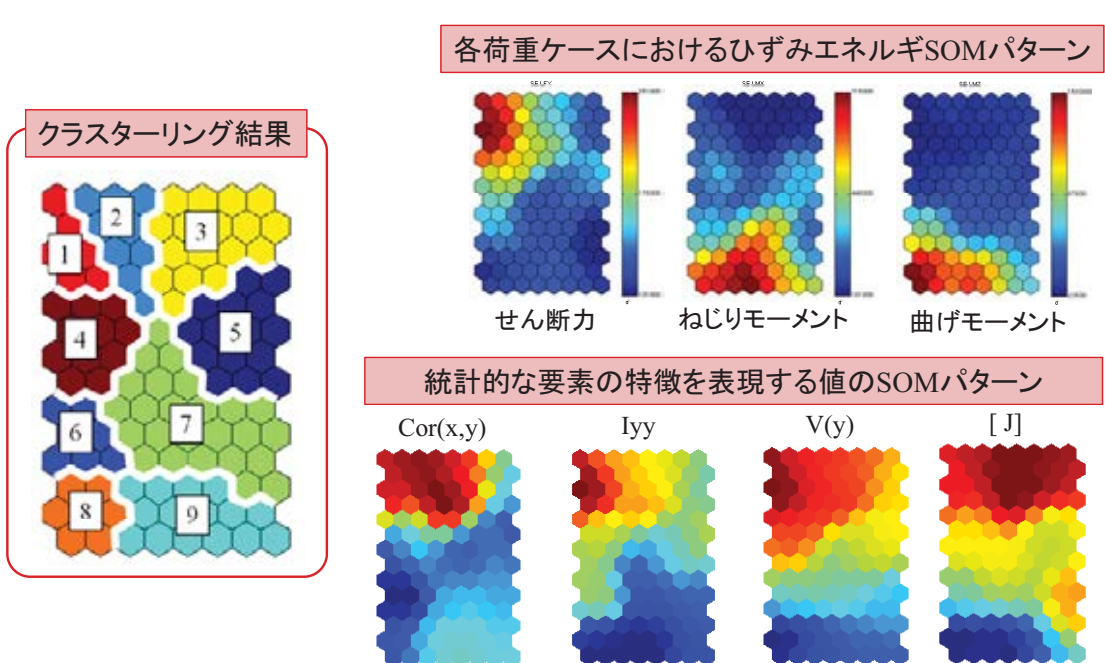
クラスターリング結果



トポロジー最適解探索の流れ



トポロジー最適解探索



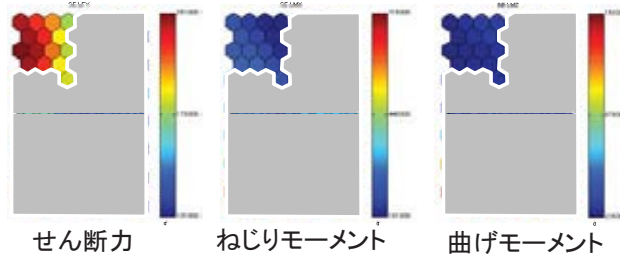
トポロジー最適解探索

クラスター1,2

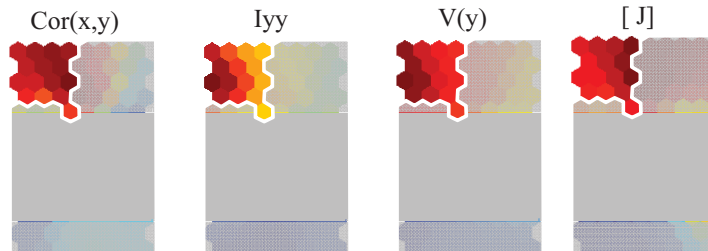
クラスターリング結果



各荷重ケースにおけるひずみエネルギーSOMパターン



統計的な要素の特徴を表現する値のSOMパターン



Tokyo Institute of Technology

35

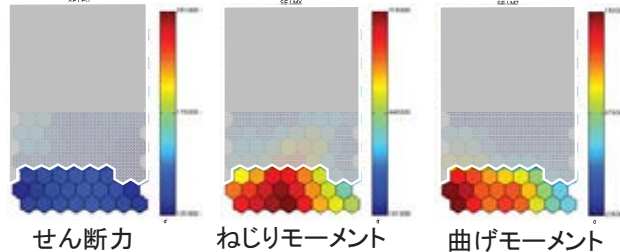
トポロジー最適解探索

クラスター8,9

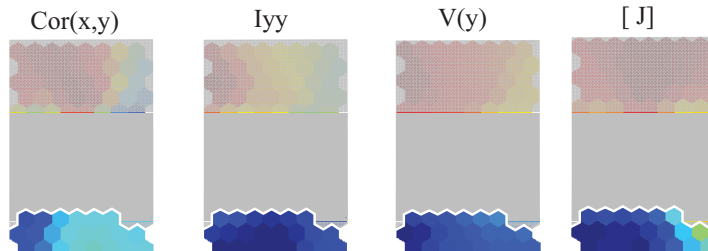
クラスターリング結果



各荷重ケースにおけるひずみエネルギーSOMパターン



統計的な要素の特徴を表現する値のSOMパターン



Tokyo Institute of Technology

36

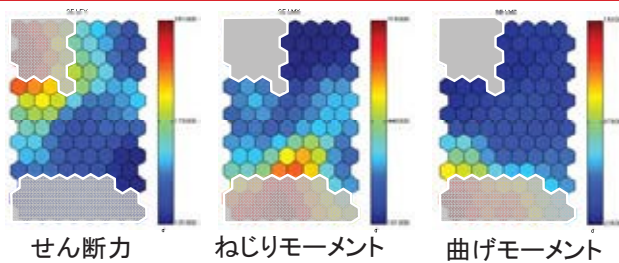
トポロジー最適解探索

クラスター3,4,5,6,7

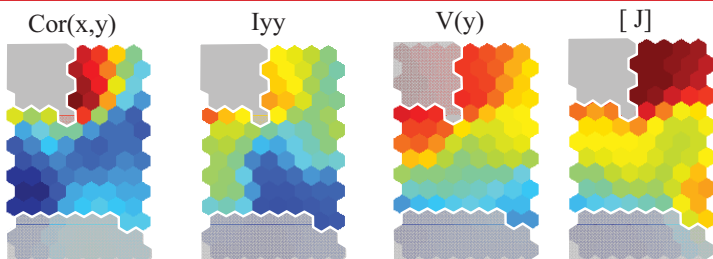
クラスターリング結果



各荷重ケースにおけるひずみエネルギーSOMパターン



統計的な要素の特徴を表現する値のSOMパターン



Tokyo Institute of Technology

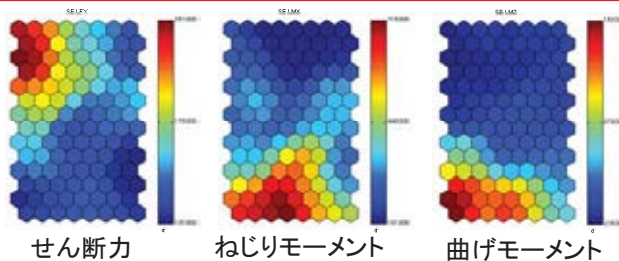
37

トポロジー最適解探索

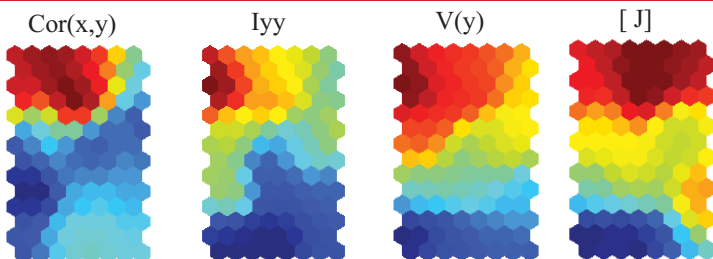
クラスターリング結果



各荷重ケースにおけるひずみエネルギーSOMパターン



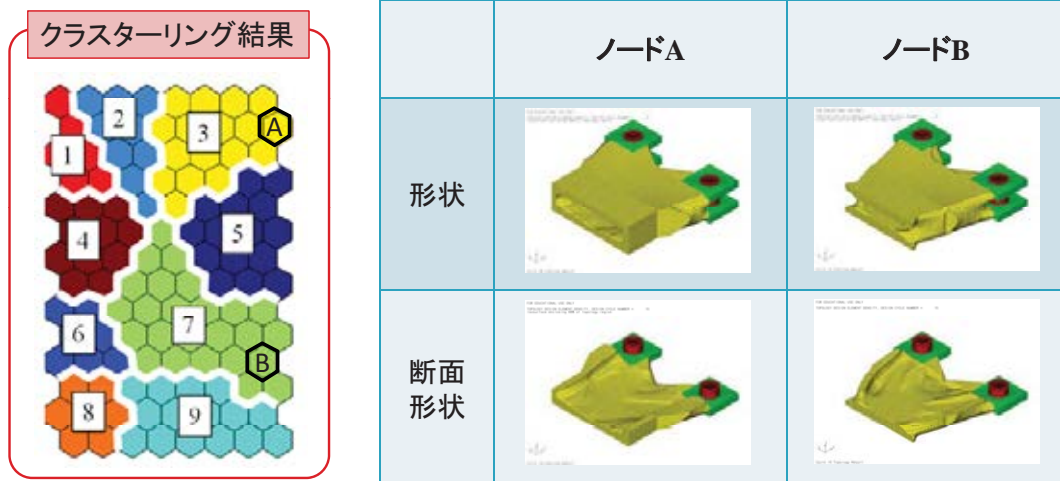
統計的な要素の特徴を表現する値のSOMパターン



Tokyo Institute of Technology

38

トポロジー最適解探索



結言

- ◆ トポロジー最適解の形状的な特徴を表すために、設計空間を分割し、その空間ごとの要素密度を用いる手法を示した。
- ◆ SOMの結果をより効果的に調べるために、統計的な要素密度の分布値を用いる手法を提案した。
- ◆ 形状特徴のパターンとひずみエネルギーパターンを比較し、各々の位相的特徴とひずみエネルギーの関係を明確にした。また、クラスターリングを行い、各々のクラスターの特徴を明確にした。



ご清聴ありがとうございました。